

تاریخ دریافت مقاله: ۱۳۸۸/۳/۶  
تاریخ پذیرش مقاله: ۱۳۸۸/۹/۱۱

پژوهنده (مجله پژوهشی دانشگاه علوم پزشکی شهید بهشتی)  
سال چهاردهم، شماره ۶، پی در پی ۷۲، صفحات ۲۹۹ تا ۳۰۶  
بهمن و اسفند ۱۳۸۸

## بررسی تنوع ژنتیکی کریپتوسپوریدیوم بر اساس آنالیز ژنهای پلیمورف TRAP-C2 و SSU-rRNA، COWP تهران و قزوین

دکتر اکبر کشاورز ریاضی<sup>۱\*</sup>، احسان ناظم‌المسینی مجرد<sup>۲</sup>، دکتر علی حقیقی<sup>۳</sup>، نیلوفر تقی‌پور<sup>۴</sup>، نوید صامد افتیایی<sup>۵</sup>، زهرا نوچه<sup>۶</sup>، دکتر بهرام کاظمی<sup>۷</sup>

۱. مسئول فنی، مرکز تحقیقات آزمایشگاهی ۶۶۰ نزاجا، اداره بهداشت و درمان نیروی زمینی ارتش جمهوری اسلامی ایران
۲. کارشناس ارشد، مرکز تحقیقات بیماری های گوارش و کبد، دانشگاه علوم پزشکی شهید بهشتی
۳. دانشیار، گروه انگل‌شناسی و قارچ‌شناسی، دانشکده پزشکی، دانشگاه علوم پزشکی شهید بهشتی
۴. کارشناس ارشد، گروه انگل‌شناسی و قارچ‌شناسی، دانشکده پزشکی، دانشگاه علوم پزشکی شهید بهشتی
۵. استاد، مرکز تحقیقات بیولوژی سلولی مولکولی، دانشگاه علوم پزشکی شهید بهشتی

### چکیده

**سابقه و هدف:** کریپتوسپوریدیوم تک‌یاخته‌ای با انتشار جهانی و به عنوان یکی از عوامل مهم اسهال در کودکان و افراد دارای نقص سیستم ایمنی شناخته شده است. عدمه تحقیقات انجام گرفته در خصوص این انگل در ایران به بررسی شیوع آن در جوامع مختلف پرداخته است. هدف از این مطالعه تعیین تنوع ژنتیکی کریپتوسپوریدیوم در کودکان مبتلا به اسهال بر اساس آنالیز ژنهای پلیمورف TRAP-C2 و SSU-rRNA، COWP با استفاده از تکنیک PCR-RFLP می‌باشد.

**مواد و روش‌ها:** در این مطالعه مقطعی، طی دو سال (آذر ماه ۱۳۸۴ تا فوریه ماه ۱۳۸۷)، نمونه‌های مدفع از ۱۲۶۳ کودک مبتلا به اسهال که به بیمارستانهای کودکان استانهای تهران و قزوین مراجعه کردند، جمع‌آوری شد. با مشاهده لام مستقیم، فرمل اثر و رنگ آمیزی اسیدفات است اصلاح شده، بررسی لازم جهت شناسایی عوامل انگلی صورت گرفت. در نهایت بر روی DNA استخراج شده از ایزوله‌ها، PCR-RFLP انجام شد.

**یافته‌ها:** از مجموع ۱۲۶۳ نمونه مدفع، ۳۱ ایزوله با استفاده از روش‌های مستقیم و رنگ‌آمیزی‌های تخصصی کریپتوسپوریدیوم تشخیص داده شدند، که از بین آنها پس از بررسی‌های مولکولی ۲۵ ایزوله کریپتوسپوریدیوم پارووم، ۵ ایزوله کریپتوسپوریدیوم هومینیس و یک ایزوله هردو ژنتوتیپ را نشان داد که نتایج در هر سه ژن یکسان بوده است.

**نتیجه‌گیری:** هر دو ژنتوتیپ انسانی و گاوی در کودکان مبتلا به اسهال دیده می‌شود ولی با توجه به این که گونه غالب، کریپتوسپوریدیوم پارووم می‌باشد، انتقال ژئوز شایعتر از انتقال انسانی بوده و تماس با دام بخصوص گوساله به عنوان مهمترین منبع آلودگی انسانی به شمار می‌رود.

### واژگان کلیدی: تنوع ژنتیکی، کریپتوسپوریدیوم، کودکان مبتلا به اسهال

### مقدمه

ظهور پاندمی ایدز در دهه ۱۹۸۰ که این تک‌یاخته به عنوان یکی از عوامل مهم مرگ و میر در بیماران دچار نقص ایمنی و یکی از عوامل اسهال کودکان اهمیت جهانی یافت.<sup>(۱) و (۲)</sup>

یک معضل بزرگ در درک انتقال عفونت کریپتوسپوریدیوم، نبودن خصوصیات مورفولوژی واضح در افتراق یک گونه کریپتوسپوریدیوم از دیگر گونه‌های است. همچنین مشکلات در

کریپتوسپوریدیوم یک عامل بیماری‌زای روده‌ای مهم با پراکنده‌گی گسترده در دامهای جوان و انسان است.<sup>(۱)</sup> با

نویسنده مسئول مکاتبات: دکتر اکبر کشاورز ریاضی؛ تهران، بزرگراه شهید باپایی، اداره بهداشت و درمان نیروی زمینی ارتش جمهوری اسلامی ایران، مرکز تحقیقات آزمایشگاهی ۶۶۰ نزاجا، پست الکترونیک: keshavarz\_akbar@yahoo.com

بود و سپس DNA ژنومیک با اتانول رسوب داده شد. در جریان شستشو با اتانول، DNA در آب یا NaOH ۸ میلی مolar حل شد.

جهت انجام nested PCR برای ژن SSU-rRNA از دو جفت پرایمر استفاده شد (جدول ۱). جفت پرایمر اول یک فرآگمنت ۱/۳ kb از ژن SSU-rRNA را تکثیر کرد و محصول PCR اول به عنوان الگو در دور دوم PCR مورد استفاده قرار گرفت، در این مرحله از جفت پرایمر دوم استفاده شد که یک قطعه (bp ۸۶۴-۸۲۶) را بسته به نوع گونه تکثیر نمود. واکنش زنجیره پلیمراز، با شرایط زیر و به تعداد ۳۲ سیکل صورت گرفت: دناتوراسیون اولیه ۳ دقیقه ۹۴ درجه سانتیگراد، دناتوراسیون ۴۵ ثانیه ۹۴ درجه سانتیگراد، آنیلینگ ۴۵ ثانیه ۵۵ درجه سانتیگراد، طویل شدن ۶۰ ثانیه ۷۲ درجه سانتیگراد، طویل شدن نهایی ۷۲ دقیقه ۷۲ درجه سانتیگراد. در PCR دوم فقط دمای annealing از ۵۵ درجه به ۵۸ درجه تغییر داده شد و به جای DNA از محصول PCR اول و از پرایمرهای داخلی استفاده شد.

برای انجام nested PCR با ژن (TRAP-C2) همانند روش قبل از دو جفت پرایمر استفاده شد (۱۱). جفت پرایمر اول یک قطعه ۳۶۶ bp و جفت پرایمر دوم یک قطعه ۲۶۶ bp را تکثیر کرد. واکنش زنجیره پلیمراز، با شرایط زیر و به تعداد ۳۰ سیکل صورت گرفت: دناتوراسیون اولیه ۳ دقیقه ۹۴ درجه سانتیگراد، دناتوراسیون ۴۵ ثانیه ۹۴ درجه سانتیگراد، آنیلینگ ۴۵ ثانیه ۵۴ درجه سانتیگراد، طویل شدن ۶۰ ثانیه ۷۲ درجه سانتیگراد، طویل شدن نهایی ۷ دقیقه ۵۶ درجه سانتیگراد. در PCR دوم فقط دمای annealing از ۵۶ درجه تغییر داده شد و به جای DNA از محصول PCR اول و از پرایمرهای داخلی استفاده شد.

برای انجام nested PCR با ژن CWP مبتلا به اسهال که به بیمارستان کودکان دانشگاه علوم پزشکی شهرید بهشتی و تهران و مرکز طبی کودکان قزوین مراجعه کرده بودند، اخذ گردید. در بررسیهای انگلشناسی، پس از انتقال نمونه‌ها به آزمایشگاه با یکی از روشهای مستقیم، تغلیظ (فرمالین-اتر) گسترش نازکی از نمونه روی لام تهیه شد و با رنگ‌آمیزی اسیدفاست ذیل نیلسون رنگ‌آمیزی و با عدسی X ۴۰ بررسی و با X ۱۰۰ از نظر وجود اووسیست کریپتوسپوریدیوم بررسی شد و نمونه‌های مشتبه در محلول دی کرومات پتابسیم ۲/۵٪ در ۴ درجه سانتیگراد نگهداری شدند.

تشخیص باعث سردرگمی در تاکسونومی کریپتوسپوریدیوم شده است. اگر چه آنالیز سکانس DNA نشان می‌دهد که این جنس پیچیده بوده و دارای بیش از ۱۸ گونه متفاوت است، شناخت ژنتیکی‌های متنوع در نمونه‌های به دست آمده از نقاط مختلف جهان، یک راه قطعی برای بررسی اپیدمیولوژی کریپتوسپوریدیوم است. این اطلاعات دانش ما را از چگونگی انتشار و قوع آسودگی توسط گونه‌های انسانی و حیوانی افزایش می‌دهد (۴۵). در ایران بر اساس روشهای مولکولی مطالعات محدودی انجام گرفته است که دو مطالعه معمار و همکاران در سال ۲۰۰۶ در افراد HIV مثبت و منفی و مطالعه پیرستانی و همکاران در سال ۲۰۰۸ در شهریار در انسان و گاو از آن جمله است (۶۷).

در مطالعه حاضر با استفاده از تکنیک Polymerase Chain Reaction- Restriction Fragment Length Polymorphism یا PCR-RFLP که یک روش بسیار کارآمد، نسبتاً ساده و به صرفه می‌باشد، تنوع ژنتیکی کریپتوسپوریدیوم در کودکان مبتلا به اسهال با توجه به آنالیز ژنهای پلی‌مورف شامل SSU-*Cryptosporidium Oocyst Wall Protein* (COWP) TRAP-*small subunit ribosomal RNA (rRNA)* و Thrombospondin Related Adhesive Protein C2 (C2) فاصله زمانی آذر ماه ۱۳۸۷ تا فروردین ماه ۱۳۸۷ مورد بررسی قرار گرفت.

## مواد و روش‌ها

نمونه‌های انسانی از کودکان مبتلا به اسهال که به بیمارستان کودکان دانشگاه علوم پزشکی شهرید بهشتی و تهران و مرکز طبی کودکان قزوین مراجعه کرده بودند، اخذ گردید. در بررسیهای انگلشناسی، پس از انتقال نمونه‌ها به آزمایشگاه با یکی از روشهای مستقیم، تغلیظ (فرمالین-اتر) گسترش نازکی از نمونه روی لام تهیه شد و با رنگ‌آمیزی اسیدفاست ذیل نیلسون رنگ‌آمیزی و با عدسی X ۴۰ بررسی و با X ۱۰۰ از نظر وجود اووسیست کریپتوسپوریدیوم بررسی شد و نمونه‌های مشتبه در محلول دی کرومات پتابسیم ۲/۵٪ در ۴ درجه سانتیگراد نگهداری شدند.

برای استخراج DNA با روش کیت Zol DNA Zol (Invitrogen, Cat. No 10503-027.USA) که به صورت محلول آماده برای استخراج DNA ژنومیک از نمونه‌های جامد و مایع حیوانات، گیاهان، قارچ، باکتری و انگل می‌باشد، مورد استفاده قرار گرفت. این محلول حاوی گوانیدین است. فرایند جداسازی شامل لیز نمونه‌های بیولوژیک در محلول DNA Zol

۱۰). جهت بررسی، نتایج بر روی ژل  $\frac{3}{2}/\frac{3}{2}$ % مخلوط با اتیدیوم بروماید و در کنار مارکر، الکتروفورز گردید (۱۳). جهت انجام RFLP مخلوط اصلی (Master mix) را از مجموع  $1\text{mL}$  بافر،  $1\text{mL}$  محصول PCR و  $1\text{U}$  از آنزیم را در حجم  $1\text{mL}$  رسانیده به مدت یک شبانه روز در بن ماری  $37^\circ\text{C}$  درجه قرار داده شد. سپس  $5\text{ }\mu\text{L}$  میکرولیتر از محصول روی ژل  $\frac{2}{2}/\frac{2}{2}$ % مخلوط با اتیدیوم بروماید الکتروفورز شد و باندهای مورد نظر در کنار مارکر DNA با دستگاه ترانس ایلومیتاور مشاهده شدند.

جهت بررسی نتایج PCR و اطمینان از تکثیر قطعه مورد نظر الکتروفورز بر روی ژل آگارز و رنگ آمیزی بوسیله اتیدیوم بروماید استفاده شد. وزن مولکولی قطعه مورد نظر در کنار یک DNA مارکر مشخص گردید (۱۳). جهت تعیین گونه و ژنتیپ‌های کریپتوسپوریدیوم توسط ژن SSU-rRNA از آنزیمهای Vsp-I، Ssp-I، RsaI، HaeIII و برای ژن COWP از آنزیم BstEII، HaeIII (GT/AC) و برای ژن TRAP-C2 از آنزیم HaeIII برای ژنتیپ انسانی و آنزیم BstEII برای ژنتیپ گاوی جایگاه شناسایی دارد (۱۲).

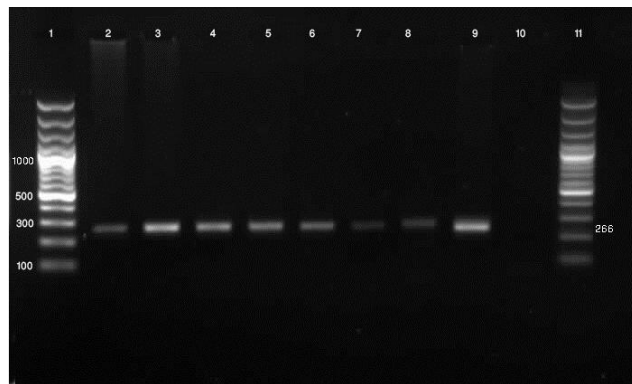
#### جدول ۱- ترداد توالی پرایمرهای تشخیصی کریپتوسپوریدیوم

نام پرایمرها	ترداد از ۵' به ۳'
SSU-rRNAC1F1	5' TTCTAGAGCTAATACATGCC 3'
SSU-rRNA C1R1	5' CCCATTCCCTCGAAACACGA 3'
SSU-rRNA C2F2	5' GGAAGGGTTGTATTATTAGATAAG 3'
SSU-rRNA C2R2	5' CTCATAAGGTGCTGAAGGAGTA 3'
TRAP C1F1	5' CATATTCCCTGTCCTTGAGTTGT 3'
TRAP C1R1	5' TGGACAACCAAATGCAGAC 3'
TRAP C2F2	5' GGTAATTGGTCACGA 3'
TRAP C2R2	5' CCAAGTTCAGGCTTA 3'
EX-COWP-C1F1	5' TGTCCCTCCAGGTACTACA 3'
EX-COWP-C1R1	5' ACCTGTTCCCCTCAATG 3'
Cry-15	5' GTAGATAATGGAAGAGATTGTG 3'
Cry-9	5' GGACTGAAATACAGGCATTATCTTG 3'

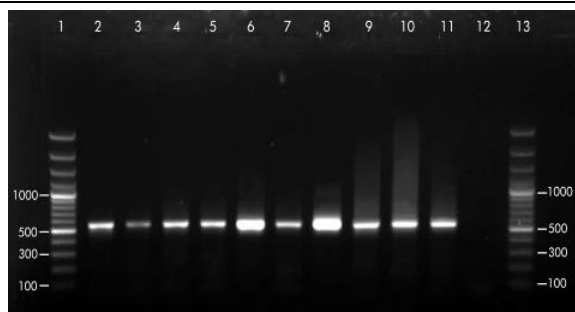
تمام ایزوله‌های انسانی با این سه ژن با نتایج مثبت همراه بودند. پرایمرهای به کاررفته توانستند قطعه‌ای در حدود  $826-851$  bp بسته به نوع گونه برای ژن SSU-rRNA، قطعه‌ای در حدود  $553$  bp برای ژن COWP و قطعه‌ای در حدود  $266$  bp برای ژن TRAP-C2 تکثیر نمایند. از  $31$  ایزوله انسانی مورد بررسی،  $25$  ایزوله ژنتیپ گاوی کریپتوسپوریدیوم پارووم (C. parvum)،  $5$  ایزوله ژنتیپ انسانی (C. hominis) و یک ایزوله عفونت همزمان با هر دو ژنتیپ را نشان داد (شکل‌های ۱ تا ۵).

#### یافته‌ها

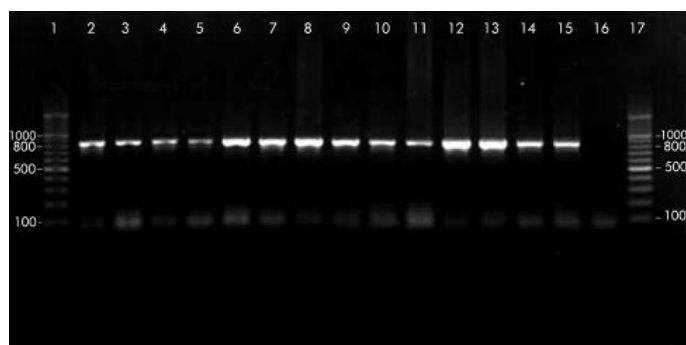
از مجموع  $1263$  کودک مبتلا به اسهال ( $749$  پسر و  $514$  دختر) که مورد بررسی قرار گرفتند،  $31$  نفر ( $2/5$ ) از نظر اوسویست کریپتوسپوریدیوم مثبت ارزیابی شدند. از این تعداد به ترتیب  $16$  مورد از گروه مذکور و  $15$  مورد از گروه مؤنث آلوده به کریپتوسپوریدیوم بودند. از مجموع نمونه‌های  $794$  جمع‌آوری شده تعداد  $469$  نمونه از استان قزوین و تعداد  $192$  نمونه از استان تهران گرفته شد که به ترتیب  $12$  و  $16$  مورد آلوده به کریپتوسپوریدیوم بودند.



شکل ۱- الکتروفورز  $5\text{ }\mu\text{L}$  میکرولیتر از محصول PCR بر روی ژل آگارز  $\frac{2}{2}/\frac{2}{2}$ % توسط ژن TRAP-C2 (ستون ۱ و ۱۱) مارکر DNA  $100\text{ bp}$ ، ستون ۹-۲: نمونه مثبت کریپتوسپوریدیوم با پرایمرهای TRAP-C2، ستون ۱۰: کنترل منفی (D.W.)



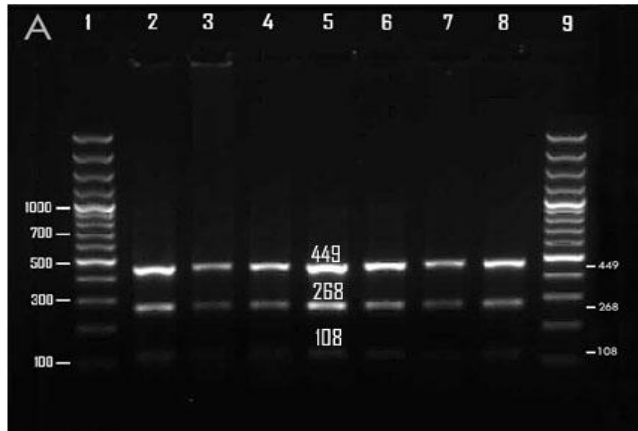
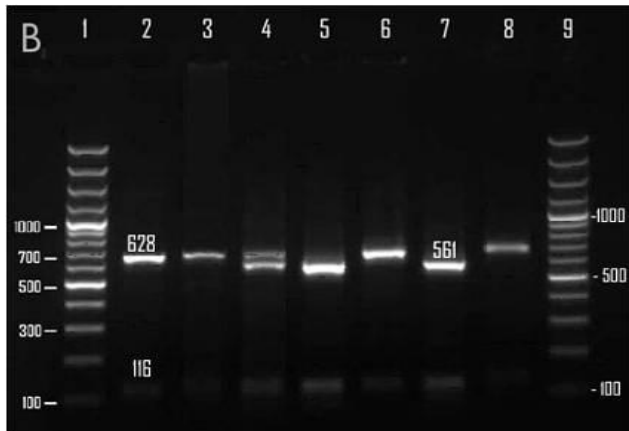
شکل ۲- الکتروفورز ۵ میکرولیتر از محصول nested PCR بر روی ژل آگارز ۳٪/توضیع ژن COWP (ستون ۱ و ۱۳: مارکر DNA ۱۰۰ bp، ستون ۱۱-۱۲: نمونه مثبت کریپتوسپوریدیوم با پرایمرهای COWP، ستون ۱۲: کنترل منفی (D.W))



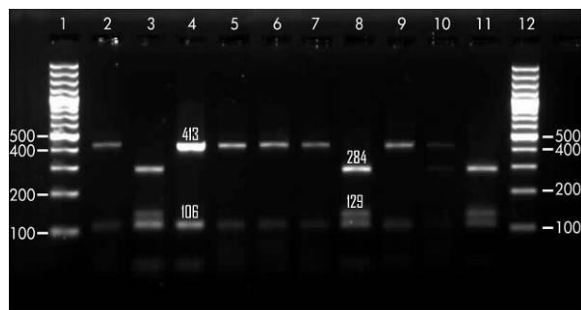
شکل ۳- الکتروفورز ۵ میکرولیتر از محصول nested PCR بر روی ژل آگارز ٪ (ستون ۱ و ۱۷: مارکر DNA ۱۰۰ bp، ستون ۱۵-۱۶: نمونه مثبت کریپتوسپوریدیوم با پرایمرهای SSU-rRNA، ستون ۱۶: کنترل منفی (D.W)).

باشد. در حالی که الگوی آن با آنزیم Vsp-I متفاوت بوده و در کریپتوسپوریدیوم پارووم دارای باندهای ۶۲۸ bp و ۱۱۶ bp بوده در حالی که در کریپتوسپوریدیوم هومینیس دارای باندهای ۵۶۱ bp، ۱۱۶ bp و ۱۰۴ bp می باشد.

شکل ۴، الگوی برش محصول nested PCR ژن SSU-rRNA را در ایزولههای انسانی با آنزیم VspI (A)، Ssp-I (B) و شکل ۵ الگوی برش محصول nested PCR ژن COWP در ایزولههای انسانی را با آنزیم RsaI نشان می دهد. همانطور که در تصویر مشخص است، الگوی برش ژنتیپهای انسانی و گاوی کریپتوسپوریدیوم پارووم با آنزیم Ssp-I دارای باندهای



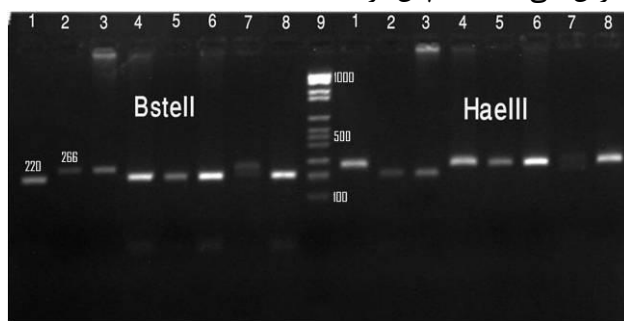
شکل ۴- الگوی برش محصول nested PCR ژن SSU-rRNA در ایزولههای انسانی با آنزیم VspI (A) و Ssp-I (B) (A: ستون ۱ و ۹: مارکر DNA، ستون ۲-۸: نمونه مثبت کریپتوسپوریدیوم پارووم با آنزیم VspI، B: الگوی برش محصول PCR دوم ژن SSU-rRNA را با آنزیم Ssp-I: ستون ۱ و ۹ مارکر DNA، ستون ۲، ۳، ۶ و ۸ نمونه مثبت کریپتوسپوریدیوم پارووم، ستون ۵ و ۷ نمونه مثبت کریپتوسپوریدیوم هومینیس، ستون ۴ عفونت همزمان از هردو ژنتیپ)



شکل ۵- الگوی برش محصول nested PCR ژن CWP در ایزوله‌های انسانی را با آنزیم RsaI (ستون ۱ و ۱۲ مارکر DNA. ستون ۲، ۴ و ۹ نمونه مثبت کریپتوسپوریدیوم پاروم، ستون ۳، ۸ و ۱۱: نمونه مثبت کریپتوسپوریدیوم هومنیس، ستون ۱۰: عفونت همزمان از هر دو گونه)

هضم آنزیمی قطعاتی به طول ۱۰۴، ۱۲۹، ۲۸۵ و ۳۴ را تولید می‌کند که پس از الکتروفورز باندهای ۱۰۴، ۱۲۹، ۲۸۵ و ۱۰۴ قابل رؤیت است (شکل ۶).

کریپتوسپوریدیوم پاروم برای آنزیم RsaI دارای دو جایگاه برش می‌باشد که پس از هضم آنزیمی قطعاتی به طول bp ۴۱۳ و ۳۴ را تولید می‌کند که پس از الکتروفورز باندهای ۴۱۳ و ۱۰۴ قابل رؤیت است. کریپتوسپوریدیوم هومنیس برای آنزیم RsaI دارای ۳ جایگاه برش می‌باشد که پس از



شکل ۶ - الگوی برش محصول PCR ژن TRAP-C2 nested PCR در ایزوله انسانی با آنزیم BstEII و HaeIII (آنزیم BstEII برای ژنتوتیپ انسانی و HaeIII برای گاوی جایگاه دارد؛ ستون شماره ۱، ۴-۶ و ۸ کریپتوسپوریدیوم پاروم، ستون شماره ۲ و ۳ کریپتوسپوریدیوم (DNA) هومنیس، ستون شماره ۷ عفونت همزمان، ستون شماره ۹ مارکر (DNA) هومنیس، ستون شماره ۱۰: عفونت همزمان از هر دو گونه)

بررسی قرار گرفت. از میان این تعداد نمونه، نتیجه آزمایش مدفوع ۳۱ نفر از آنها از نظر اووسیست کریپتوسپوریدیوم با استفاده از روش میکروسکوپی مثبت بود، بنابراین می‌توان شیوع کریپتوسپوریدیوزیس را ۲/۵٪/۲/۵٪ گزارش نمود، این میزان از شهرهای اهواز و غرب تهران بیشتر بوده ولی از سایر مناطق مورد مطالعه کمتر می‌باشد (۱۸-۱۴).

نتایج این مطالعه نشان می‌دهد که از میان ۳۱ ایزوله مورد بررسی در کودکان مبتلا به اسهال، تعداد ۲۵ ایزوله (٪۸۰/۶) ژنتوتیپ گاوی کریپتوسپوریدیوم پاروم (C. parvum)، ۵ ایزوله (٪۱۶/۱) ژنتوتیپ انسانی کریپتوسپوریدیوم پاروم (C. hominis) و یک ایزوله عفونت همزمان از هردو ژنتوتیپ را نشان داده است.

نتایج این مطالعه نشان می‌دهد که ژنتوتیپ گاوی کریپتوسپوریدیوم پاروم گونه غالب در کودکان مبتلا به اسهال در این مطالعه بوده است. با توجه به محدود بودن تنوع

### بحث

کریپتوسپوریدیوزیس یک بیماری با انتشار جهانی است و یکی از چهار پاتوژن مهم عامل اسهال در کودکان بوده که به عنوان یکی از مشکلات عمده بهداشتی مطرح است (۲). امروزه در اکثر نقاط جهان تحقیقات گستره‌های بر روی خصوصیات مختلف کریپتوسپوریدیوم از جمله بیولوژی، اپیدمیولوژی و تشخیص آن انجام گرفته است. در کشور ما اکثیریت مطالعات انجام گرفته بر روی جنبه‌های اپیدمیولوژی انگل معطوف بوده و مطالعات محدودی در زمینه مولکولی انجام گرفته است. لذا این بررسی با هدف تعیین گونه‌ها و ژنتوتیپ کریپتوسپوریدیوم در کودکان مبتلا به اسهال انجام شد تا اطلاعات دقیقتی در مورد اپیدمیولوژی، کنترل و پیشگیری از این انگل به دست آید.

در این بررسی مجموعاً ۱۲۶۳ نمونه مدفوع اسهالی از کودکان مبتلا به اسهال که به مراکز طبی کودکان استان تهران و قزوین مراجعه کردند در طی مدت ۲ سال جمع‌آوری و مورد

## بررسی تنوع ژنتیکی کریپتوسپوریدیوم بر اساس آنالیز

بررسی‌های صورت گرفته مشابه بوده ولی با بعضی از نتایج دیگر همخوانی ندارد.

میزبانی که می‌توانند به ژنوتیپ انسانی مبتلا شوند و به عنوان مخزن عمل نمایند، یافته فوق چندان دور از انتظار نیست. در جدول ۲ یافته‌های چند مطالعه از نقاط مختلف جهان نشان داده شده است. یافته‌های مطالعه حاضر با پارهای از

جدول ۲- فراوانی ژنوتیپ انسانی و ژنوتیپ گاوی کریپتوسپوریدیوم در انسان در مطالعات مختلف

Location	No. of isolates	<i>C.hominis</i>	<i>C.parvum</i>	Transmission Pattern	Reference
UK	1705	654(37.8%)	1049 (61.5%)	Zoonotic	19
Australia	36	30 (83%)	6 (17%)	Anthropontic	23
Japan	20	14 (%70)	3 (15%)	Anthroponotic	25
Kuwaite	62	3 (5%)	59(94%)	Zoonotic	20
Lima, Peru	127	91 (71.7%)	16(12.6%)	Anthroponotic	27
France	47	18 (38%)	29(62%)	Zoonotic	21
Kenya	175	153(87%)	15(9%)	Anthroponotic	26
Switzerland	9	2 (22.2%)	7 (77.7%)	Zoonotic	22
Uganda		72.8%	18.4%	Anthroponotic	29
Iran	17	4 (24%)	13 (76%)	Zoonotic	6
The Netherlands	91	64 (70)	18(19%)	Anthroponotic	24
England	2414	1005 (41.7%)	1354(56.1%)	Zoonotic	28
Iran	24	7 (29.1%)	17(70.8%)	Zoonotic	7

کریپتوسپوریدیوم در ۱۷۰۵ نمونه انسانی و ۱۰۵ نمونه گاوی در انگلستان پرداختند. در این مطالعه ۳۷/۵٪ ژنوتیپ نوع ۱ (انسانی) و ۶۱/۵٪ ژنوتیپ نوع ۲ (گاوی) و ۰/۳٪ ژنوتیپ نوع .۰/۰٪ ژنوتیپ نوع C. meleagridis را نشان داد (۱۹).

PCR و همکاران در سال ۲۰۰۱ با استفاده از تکنیک- PCR Elwin و همکاران در سال ۲۰۰۱ با استفاده از TRAP-C2 و آنالیز هضم آنژیمی RFLP و استفاده از ژن TRAP-C2 و آنالیز هضم آنژیمی RFLP یک روش ساده و حساس را برای تأیید تنوع ژنتیکی ایزوله‌های کریپتوسپوریدیوم به کار برند. TRAP-C2 یک ژن بسیار خوب برای اثبات طبیعت پلی‌مورفیک این انگل است. این روش هم چنین برای تأیید کریپتوسپوریدیوم در نمونه‌های غیر از مدفوع مثل لاواژ برونش در بیماران با سرکوب سیستم ایمنی مبتلا به عفونت ریوی در جریان پیوند مغز استخوان و بد استفاده می‌شود (۲۹).

در سال ۲۰۰۱ Xiao و همکارانش ۵ گونه کریپتوسپوریدیوم را در کودکان شهر لیمای پرو با روش PCR-RFLP بر روی ژن SSU-rRNA تشخیص دادند. آنها در این تحقیق نتایج زیر را به دست آوردن: گونه‌های زئونوز کریپتوسپوریدیوم مثل کریپتوسپوریدیوم فلیس، کریپتوسپوریدیوم مله اگریدیس و کریپتوسپوریدیوم کنیس می‌توانند کودکان HIV منفی را نیز آلوده کنند. گونه‌های زئونوز همانند گونه انسانی در ۲۸ تا ۳۳ درصد موارد باعث اسهال می‌شوند. طول دوره اسهال در برخی از کودکان بیش از یک هفته و بیشتر در کودکان زیر ۳ سال بوده است (۲۶).

در این بررسی ژنوتیپ گاوی کریپتوسپوریدیوم پارووم گونه غالب بوده که الگوی ژنوتیپ بدست آمده با کشورهایی مثل انگلستان ۶۱/۵٪ (۱۹)، کویت ۹۴٪ (۲۰)، فرانسه ۶۲٪ (۲۱)، سویس ۷۷٪ (۲۲) و دو مطالعه در ایران ۷۰٪ (۶)، ۷۶٪ (۷) همخوانی داشته است. در حالی که در کشورهایی مثل استرالیا ۸۳٪ (۲۳)، هلند ۷۰٪ (۲۴)، ژاپن ۷۰٪ (۱)، کنیا ۸۷٪ (۲۵)، پرو ۷۱٪ (۲۶) و تعداد دیگری ژنوتیپ انسانی کریپتوسپوریدیوم پارووم غالب بوده است.

معمار و همکاران در سال ۲۰۰۶ به بررسی گونه‌ها و ژنوتیپ‌های کریپتوسپوریدیوم در افراد HIV مثبت و HIV منفی، با استفاده از روش PCR-RFLP و نواحی هدف ژن ۱۸SrRNA، پرداخته و نتایج این مطالعه نشان می‌دهد که از ۱۷ ایزوله مورد بررسی ۱۳ ایزوله (۷۶٪) کریپتوسپوریدیوم پارووم و ۴ ایزوله کریپتوسپوریدیوم هومینیس بوده است (۶). تفاوت در منبع عفونت یکی از مهمترین عوامل تفاوت در انتقال ژنوتیپ‌های کریپتوسپوریدیوم می‌باشد. به طوری که در کشورهایی که کریپتوسپوریدیوم هومینیس غالب است، انتقال از راه آب مهمترین منع آلودگی به شمار می‌آید ولی در کشور ما و برخی از کشورهای اروپایی و کویت غالب بودن کریپتوسپوریدیوم پارووم در نتیجه انتقال زئونوز می‌باشد (۲۸ و ۲۹ و ۳۰).

Mclauchlin و همکاران در سال ۲۰۰۰ با استفاده از تکنیک PCR-RFLP و تارگت COWP به بررسی آنالیز مولکولی گونه

انسانی و گاوی در کودکان مبتلا به اسهال دیده می‌شود ولی با توجه به این که گونه غالب کریپتوسپوریدیوم پارووم می‌باشد بنابراین انتقال زئونوز شایعتر از انتقال انسانی بوده و تماس با دام بخصوص گوساله به عنوان مهمترین منبع آلودگی انسانی به شمار می‌رود.

## نتیجه‌گیری

اکثریت عفونت انسانی توسط دو گونه کریپتوسپوریدیوم پارووم و کریپتوسپوریدیوم هومنیس ایجاد می‌شود. کریپتوسپوریدیوم هومنیس فقط در انسان بیماری‌زا است در حالی که کریپتوسپوریدیوم پارووم انسان و سایر پستانداران را مبتلا می‌کند. نتایج این مطالعه نشان می‌دهد که هر دو ژنوتیپ

## REFERENCES

- Yagita K, Izumiya Sh, Tachibana H, Masuda G, Iseku M, Furuya K, et al. Molecular characterization of *Cryptosporidium* isolates obtained from human and bovine infections in Japan. Parasitol Res. 2001;87(11):950-5.
- keshavars A, Haghghi A, Athari A, Kazemi B, Nazemalhosseini Mojarrad E. Genetic variation of *Cryptosporidium* spp. among children with Diarrhea in Iran. Iranian J Parasitol 2008;3(3):30-6.
- Sorvillo FJ, Liebl E, Kerndt PR, ash LR. Epidemiology of Cryptosporidiosis among person with acquired immunodeficiency syndrome in Los Angeles country. American J Trop Med Hyg 1994;51:331-63.
- Xiao L, Ryan UM. Cryptosporidiosis: an update in molecular epidemiology. Curr Opin Infect 2004;17:483-90.
- Tzipori S, Ward H. Cryptosporidiosis: biology, pathogenesis and disease. Microbes Infect 2002;4(10):1047-58.
- Meamar AR, Guyot K, Certad G, Dei-Cas E, Mohraz M, Mohebali M, et al. SSU-rRNA gene analysis of *Cryptosporidium* spp. in HIV positive and negative patients. Iranian J Public Health 2006;35:1-7.
- Pirestani M, Sadraei J, Dalimi Asl A., Zavar M, Vaeznia H. Molecular characterization of *Cryptosporidium* isolates from human and bovine using 18S rRNA gene in Shahriar county of Tehran, Iran. Parasitol Res 2008;103(2):447-67.
- Carcia LS, Brewer TC, Bruckner DA, Shimizu RY. Techniques for the recovery and identification of *Cryptosporidium* oocysts from stool specimens. J Clin Microbiol 1983;18:185-90.
- Casemore DP, Armstrong M, Sands RL. Laboratory diagnosis of cryptosporidiosis. J Clin Pathol 1985;38:1337-41.
- Xiao L, Escalante L, Yang CF, Sulaiman I, Escalante AA, Montali RJ, et al. Phylogenetic analysis of *Cryptosporidium* parasites based on SSU-rRNA gene locus. Appl Environ Microbiol 1999a;65:1578-83.
- Sulaiman IM, Xiao L, Yang C, Escalante L, Moore A, Beard CB, et al. Differentiating human from animal isolates of *Cryptosporidium parvum*. Emerging infectious diseases 1998 4(4):681-5.
- Kato S, Lindergard G, Mohammed HO. Utility of the *Cryptosporidium* oocysts wall protein (COWP) gene in a nested PCR approach for detection infection in cattle. Vet Parasitol 2003;13,111(2-3):153-9.
- Sambrook J, Fritsch F, Maniatis T. Molecular Cloning: A Laboratory Manual. 2nd ed. NY:Cold Spring Harbor Laboratory Press; 2001.
- Hoghooghi-Rad N. Some epidemiological aspects of cryptosporidiosis in Ahvaz, Capital of Khoozestan province, Islamic Republic of Iran. Med J Islam Repub Iran 1994;1:17-22.
- Khoshzaban F, Dalimi-Asl A. Epidemiological study on cryptosporidiosis children. Sci Res J Sahed Univ (Iran)1998;19:21-6.
- Maleki F, Sadeg-Hasani S. Prevalence of cryptosporidiosis in students of elementary schools in the west Tehran-Iran from 1999-2001. J Iran Univ Med Sci 2003;33:105-10.
- Hamed Y, Safa O Haydari M. *Cryptosporidium* infection in diarrheic children in southeastern Iran. Pediatr Infect Dis J 2005;24:86-8.
- Mirzaei M. Prevalence of *Cryptosporidium* sp. Infection in diarrheic and non-diarrheic humans in Iran. Korean Journal of Parasitology 2007;45(2):133-7.
- Mclauchlin J, Pedraza -Diaz S, Amar-Hoetzeneder C, Nichols GL. Molecular epidemiological analysis of *Cryptosporidium* spp.in Uinted Kingdom: Results of genotyping *Cryptosporidium* spp. in 1705 fecal samples from human and 105 fecal samples from livestock animals. J Clin Microbiol 2000;38:3984-90.
- Sulaiman IM, Hira PR, Zhou I, Al-Ali Shelahi FM, Shweiki HM, Iqbal J, et al. Unique endemicity of cryptosporidiosis in children in Kuwait. J Clin Microbiol 2005;43:2805-9.
- Guyot K, Follet-Dumoulin A, Lelievre E, Sarfati C, Rabodonirina M, Nevez G. Molecular characterization of *Cryptosporidium* isolates obtained from humans in France. J Clin Microbiol 2001;39:3472-34.

22. Morgan U, Weber R, Xiao L, Sulaiman I, Thompson RCA, Ndiritu W, et al. Molecular characterization of *Cryptosporidium* isolates obtained from human immunodeficiency virus -infected individuals living in Switzerland, Kenya, and the United states. *J Clin Microbiol* 2000;38(3):1180-3.
23. Morgan UM, Xiao L, Monis P, Fall A, Irwin PJ, Fayer R, et al. *Cryptosporidium* spp. in domestic dogs: the "dog" genotype. *Appl Environ Microbiol* 2000;66(5):2220-3.
24. Wielinga PR, Vries ADE, Vandercoot TH, Mankmars MH, Kortbeek LM, Vandorgiesen JWB. Molecular epidemiology of *Cryptosporidium* in humans and cattle in the Netherlands. *Int J Parasitology* 2008;38:809-17.
25. Gatei W, Wamae C, Waruru A, Mbae C, Mulige E, waithera T, et al. Cryptosporidiosis: prevalence, genotype analysis and symptoms associated with infections and children in Kenya. *Ant J Trop Med Hyg* 2006;75(1):78-82.
26. Xiao L, Bern C, Limor J, Sulaiman I, Roberts J, Checkley W, et al. Identification 5 types of *Cryptosporidium* parasites in children in Lima, Peru. *J Infect Dis* 2001;183:492-7.
27. Leoni F, Amar C, Nichols G, Pedraza-Diaz S, McLauchlin J. Genetic analysis of *Cryptosporidium* 2414 humans with diarrhea in England between 1985 and 2000. *J Med Microbiol* 2006;55(6):703-7.
28. Tumwine JK, Kekitiinwa A, Nabukeera N, Akiyoshi DE, Rich SM, Widmar G , et al. *Cryptosporidium parvum* in children with diarrhea in Mulago Hospital, Kampala, Uganda. *Am J Trop Med Hyge* 2003;68:710-5.
29. Elvin K, Chalmer RM, Robert R, Guy EC, Casemore DP. Modification of rapid method for the identification of gene specific polymorphisms in *Cryptosporidium Parvum* and its application to clinical and epidemiological investigations. *J Clin Microbiol* 2001;60(12):5581-4.